



## Στοιχεία Μηχανών

Διάλεξη 3

**Ανάλυση Τάσεων-Παραμορφώσεων  
Κριτήρια Στατικής Αστοχίας**

Παναγιώτης Αλευράς  
(palevras@tuc.gr)

Στοιχεία Μηχανών - Διάλεξη 3

1

1

## Περίγραμμα Διάλεξης



- Κύριες τάσεις, ελαστική παραμόρφωση
- Κάμψη, διάτμηση και στρέψη δοκών
- Κριτήρια αστοχίας σε στατική αντοχή
  - Μέγιστη Διατμητική Τάση
  - Θεωρία Έργου Παραμόρφωσης
  - Μέγιστη Ορθή Τάση
  - Coulomb-Mohr

Στοιχεία Μηχανών - Διάλεξη 3

2

2

1

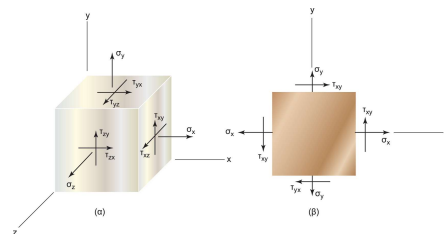
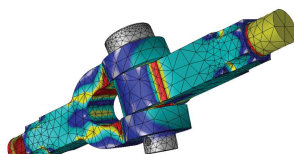
# Ανάλυση Τάσεων Παραμορφώσεων

Στοιχεία Μηχανών - Διάλεξη 3

3

3

## Εντατική Κατάσταση



Πώς μπορούμε να βρούμε την διατομή που θα αστοχήσει? Ονομάζεται επικινδυνή διατομή και συνήθως

- Βρίσκεται σε γεωμετρικές μεταβολές, πχ αλλαγή διαμέτρου άξονα
- Είναι μία διατομή που δέχεται το μεγαλύτερο φορτίο
- Παρουσιάζει αύξηση των τάσεων πχ εγκοπή, σφήνα κτλ.

Οι ορθές τάσεις  $\sigma_x, \sigma_y, \sigma_z$  και οι διατμητικές  $\tau_{xy} = \tau_{yx}, \tau_{xz} = \tau_{zx}, \tau_{yz} = \tau_{zy}$  περιγράφουν την εντατική κατάσταση των σωμάτων.

Στοιχεία Μηχανών - Διάλεξη 3

4

4

## Κύριες τάσεις – 2D

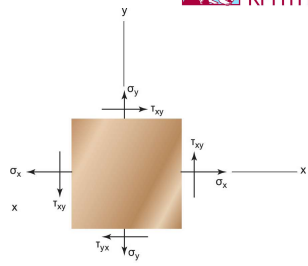


- $\sigma_z = \tau_{xz} = \tau_{yz} = 0$

- Εάν κάνουμε μία τομή στη διατομή υπό τυχαία γωνία  $\phi$

$$\sigma = \frac{\sigma_x + \sigma_y}{2} + \frac{\sigma_x - \sigma_y}{2} \cos 2\phi + \tau_{xy} \sin 2\phi$$

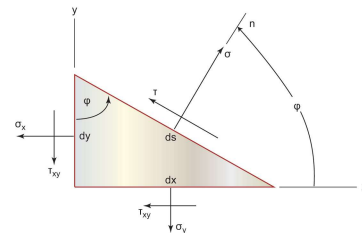
$$\tau = -\frac{\sigma_x - \sigma_y}{2} \sin 2\phi + \tau_{xy} \cos 2\phi$$



- Μέγιστες ορθές τάσεις (κύριες τάσεις)

- $\tau = 0$

- $\sigma_1, \sigma_2 = \frac{\sigma_x + \sigma_y}{2} \pm \sqrt{\left(\frac{\sigma_x - \sigma_y}{2}\right)^2 + \tau_{xy}^2}$



Στοιχεία Μηχανών - Διάλεξη 3

5

5

## Μέγιστες διατμητικές τάσεις



- Αντίστοιχα μπορούμε να χρησιμοποιήσουμε τις προηγούμενες σχέσεις για να βρούμε τις μέγιστες διατμητικές τάσεις

$$\sigma = \frac{\sigma_x + \sigma_y}{2} + \frac{\sigma_x - \sigma_y}{2} \cos 2\phi + \tau_{xy} \sin 2\phi$$

$$\tau = -\frac{\sigma_x - \sigma_y}{2} \sin 2\phi + \tau_{xy} \cos 2\phi$$

- Μέγιστες διατμητικές τάσεις

- $\sigma = \frac{\sigma_x + \sigma_y}{2}$

- $\tau_1, \tau_2 = \pm \sqrt{\left(\frac{\sigma_x - \sigma_y}{2}\right)^2 + \tau_{xy}^2}$

Στοιχεία Μηχανών - Διάλεξη 3

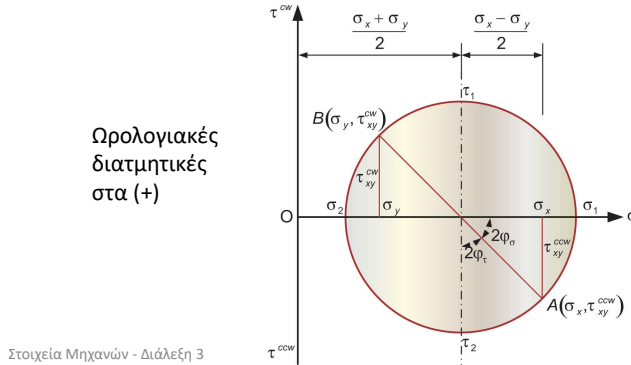
6

6

## Κύκλος του Mohr



- Σημειώνουμε το σημείο A ( $\sigma_x, \tau_{xy}$ ) και το σημείο B ( $\sigma_y, \tau_{xy}$ ) και σχεδιάζουμε κύκλο με διάμετρο AB
- Οι μέγιστες ορθές δίνονται από τις τομές με τον άξονα σ, και οι μέγιστες διατμητικές τάσεις από το μέγιστο και το ελάχιστο του κύκλου
- Έτσι, προκύπτει ο κύκλος του Mohr
- Οι κύριες τάσεις και οι μέγιστες διατμητικές χρησιμοποιούνται στα κριτήρια αστοχίας



Στοιχεία Μηχανών - Διάλεξη 3

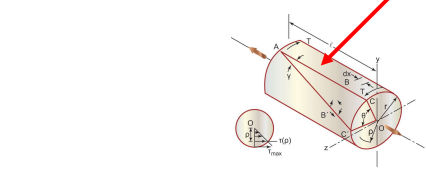
7

7

## Νόμος του Hooke



- Περιοχή ελαστικής παραμόρφωσης
- $$\sigma = E\varepsilon, \tau = G\gamma$$
- όπου
- E,G το μέτρο ελαστικότητας και διάτμησης
  - $\varepsilon = \delta/l$  η αξονική παραμόρφωση και γ η γωνιακή.

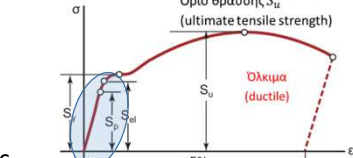


- Σχέση E και G

$$E = 2G(1 + \nu)$$

Όπου  $\nu$  ο λόγος Poisson.

Στοιχεία Μηχανών - Διάλεξη 3



	ΚΥΡΙΕΣ ΠΑΡΑΜΟΡΦΩΣΕΙΣ	ΚΥΡΙΕΣ ΤΑΣΕΙΣ
Μονοσχενική	$\varepsilon_1 = \frac{\sigma_1}{E}$	$\sigma_1 = E\varepsilon_1$
	$\varepsilon_2 = -v\varepsilon_1$	$\sigma_2 = 0$
	$\varepsilon_3 = -v\varepsilon_1$	$\sigma_3 = 0$
Διαζενική	$\varepsilon_1 = \frac{1}{E}(\sigma_1 - v\sigma_2)$	$\sigma_1 = \frac{E(\varepsilon_1 + v\varepsilon_2)}{1-v^2}$
	$\varepsilon_2 = \frac{1}{E}(\sigma_2 - v\sigma_1)$	$\sigma_2 = \frac{E(\varepsilon_2 + v\varepsilon_1)}{1-v^2}$
	$\varepsilon_3 = \frac{v}{E}(\sigma_1 - \sigma_2)$	$\sigma_3 = 0$
Τριαζενική	$\varepsilon_1 = \frac{1}{E}(\sigma_1 - v\sigma_2 - v\sigma_3)$	$\sigma_1 = \frac{E\varepsilon_1(1-v) + vE(\varepsilon_2 + \varepsilon_3)}{(1+v)(1-2v)}$
	$\varepsilon_2 = \frac{1}{E}(\sigma_2 - v\sigma_1 - v\sigma_3)$	$\sigma_2 = \frac{E\varepsilon_2(1-v) + vE(\varepsilon_1 + \varepsilon_3)}{(1+v)(1-2v)}$
	$\varepsilon_3 = \frac{1}{E}(\sigma_3 - v\sigma_1 - v\sigma_2)$	$\sigma_3 = \frac{E\varepsilon_3(1-v) + vE(\varepsilon_1 + \varepsilon_2)}{(1+v)(1-2v)}$

8

4

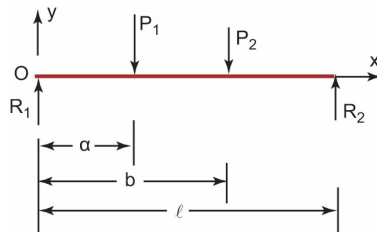
## Διαγράμματα Ν, V, M



- Προσδιορισμός Αξονικών, Διατμητικών και Καμπτικών Ροπών σε Στοιχεία Μηχανών υπό φόρτιση
- Συμπληρώνονται από το διάγραμμα στρεπτικών ροπών.

**ΠΑΡΑΔΕΙΓΜΑ:** Η δοκός στηρίζεται με τις αντιδράσεις  $R_1$  και  $R_2$  ενώ δέχεται τα φορτία  $P_1$  και  $P_2$ . Υπολογίστε και σχεδιάστε τα διαγράμματα διατμητικής δύναμης ( $Q$ ) και στρεπτικών ροπών.

$$P_1=250 \text{ N}, P_2=450 \text{ N}, a=0.15\text{m}, b=0.35\text{m}, l=0.65\text{m}$$



Στοιχεία Μηχανών - Διάλεξη 3

9

9

## Διαγράμματα Ν, V, M

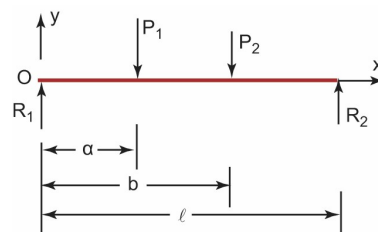


1. Ισορροπία για τις αντιδράσεις  $R_1$ ,  $R_2$ .

$$P_1 + P_2 - R_1 - R_2 = 0 \text{ κατά y}$$

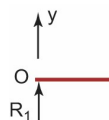
$$P_1a + P_2b - R_2l = 0 \quad \text{ροπές ως προς O}$$

$$R_1 = 400 \text{ N}, R_2 = 300 \text{ N}$$



2. Εφαρμόζουμε τομές από αριστερά.

$$\bullet \quad 0 \leq x < a$$



$$V(x) = R_1 = 400 \text{ N}$$

$$M(x) = R_1 * x = 400x \text{ Nm} \quad \text{με } M(a) = 60 \text{ Nm}$$

Στοιχεία Μηχανών - Διάλεξη 3

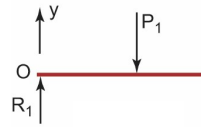
10

10

## Διαγράμματα N,V,M



- $a \leq x < b$



$$V(x) = R_1 - P_1 = 150 \text{ N}$$

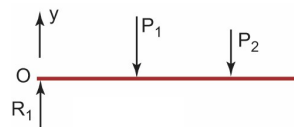
$$M(x) = R_1 * x - P_1 * (x - a)$$

$$M(x) = 400x - 250(x - a)$$

$$M(x) = 150x + 37.5 \text{ Nm}$$

$$\mu\epsilon M(b) = 90 \text{ Nm}$$

- $b \leq x < l$



$$V(x) = R_1 - P_1 - P_2$$

$$= 400 - 250 - 450 = -300 \text{ N}$$

$$M(x) = R_1 * x - P_1 * (x - a) - P_2 * (x - b)$$

$$M(x) = 400x - 250(x - a) - 450(x - b)$$

$$M(x) = -300x + 195 \text{ Nm}$$

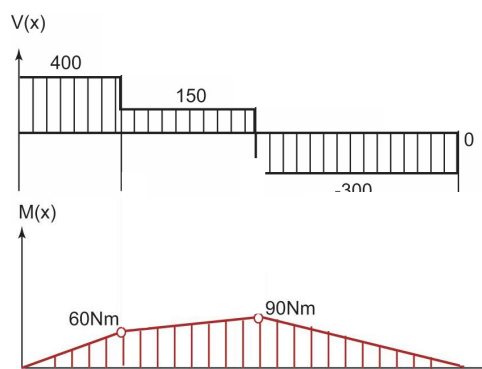
Στοιχεία Μηχανών - Διάλεξη 3

$$\mu\epsilon M(l) = 0 \text{ Nm}$$

11

11

## Διαγράμματα N,V,M



- Τα διαγράμματα  $N$ ,  $V$ ,  $M_b$  (καμπτικές),  $M_t$  (στρεπτικές) είναι το πρώτο βήμα για τον προσδιορισμό της αντοχής
- Από αυτά υπολογίζουμε εσωτερικές τάσεις στα Στοιχεία Μηχανών και εφαρμόζουμε κριτήρια αστοχίας

Στοιχεία Μηχανών - Διάλεξη 3

12

12

## Ιδιόμορφες συναρτήσεις για N,V,M



- Γενίκευση-αυτοματοποίηση της μεθόδου εύρεσης των N,Q,M

$$\text{Ιδιόμορφη συνάρτηση } f_n(x) = (x - a)^n$$

### KΑΝΟΝΕΣ

- $n > 0$  και  $(x - a) > 0$  τότε  $f_n = (x - a)^n$
- $n > 0$  και  $(x - a) < 0$  τότε  $f_n = 0$
- $n < 0$  τότε  $f_n = \begin{cases} 1, x = a \\ 0, x \neq a \end{cases}$
- $n = 0$  τότε  $f_n = \begin{cases} 1, x \geq a \\ 0, x < a \end{cases}$
- $n \geq 0$  τότε  $\int_{-\infty}^x (x - a)^n dx = \frac{(x-a)^{n+1}}{n+1}$
- $n < 0$  τότε  $\int_{-\infty}^x (x - a)^n dx = (x - a)^{n+1}$
- $n \geq 1$  τότε  $\frac{d}{dx} (x - a)^n = n(x - a)^{n-1}$

Είδος φόρτισης	Σχήμα της φόρτισης	Ιδιόμορφη συνάρτηση
Συγκεντρωμένη ροπή		$q(x) = M(x - a)^{-2}$
Συγκεντρωμένη δύναμη		$q(x) = P(x - a)^{-1}$
Συνεχές φορτίο		$q(x) = w_0(x - a)^0$
Γραμμικό <sup>1</sup> αναζεύμαντο φορτίο		$q(x) = \frac{w_0}{b}(x - a)^1$
Γραμμικό <sup>2</sup> μελεύμαντο φορτίο		$q(x) = w_0(x - a)^0 - \frac{w_0}{b}(x - a)^1$
Παραβολικό <sup>3</sup> αναζεύμαντο φορτίο		$q(x) = (x - a)^2$

Στοιχεία Μηχανών - Διάλεξη 3

13

13

## Παράδειγμα με Ιδιόμορφες



- Δεν εφαρμόζουμε τομές οπότε ελαχιστοποιούμε το κίνδυνο λάθους, όλα γίνονται σε ένα βήμα.

- Έχω 4 συγκεντρωμένες δυνάμεις.

Συγκεντρωμένη δύναμη		$q(x) = P(x - a)^{-1}$
-------------------------	--	------------------------

- Υπολογίζω το  $q(x)$

$$q(x) = R_1(x - 0)^{-1} - P_1(x - a)^{-1} - P_2(x - b)^{-1} + R_2(x - l)^{-1}$$

- Ολοκληρώνω για να βρω τις διατητικές δυνάμεις  $Q(x) = V(x)$

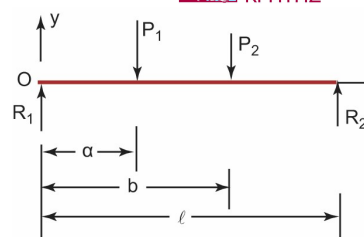
$$V(x) = \int_{-\infty}^x (R_1(x - 0)^{-1} - P_1(x - a)^{-1} - P_2(x - b)^{-1} + R_2(x - l)^{-1}) dx$$

$$V(x) = R_1(x)^0 - P_1(x - a)^0 - P_2(x - b)^0 + R_2(x - l)^0$$

- Ολοκληρώνω ξανά για να βρω τις καμπτικές ροπές

$$M(x) = \int_{-\infty}^x V(x) dx = \int_{-\infty}^x (R_1(x)^0 - P_1(x - a)^0 - P_2(x - b)^0 + R_2(x - l)^0) dx$$

$$M(x) = R_1(x)^1 - P_1(x - a)^1 - P_2(x - b)^1 + R_2(x - l)^1$$



Στοιχεία Μηχανών - Διάλεξη 3

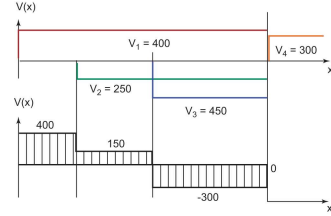
14

14

## Παράδειγμα με Ιδιόμορφες



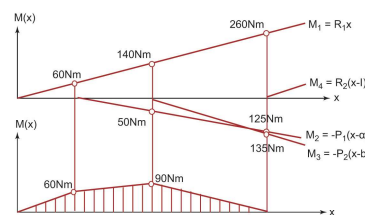
$$V(x) = R_1 \langle x \rangle^0 - P_1 \langle x - a \rangle^0 - P_2 \langle x - b \rangle^0 + R_2 \langle x - l \rangle^0$$



### KANONEΣ

1.  $n > 0$  και  $(x - a) > 0$  τότε  $f_n = (x - a)^n$
2.  $n > 0$  και  $(x - a) < 0$  τότε  $f_n = 0$
3.  $n < 0$  τότε  $f_n = \begin{cases} 1, x = a \\ 0, x \neq a \end{cases}$
4.  $n = 0$  τότε  $f_n = \begin{cases} 1, x \geq a \\ 0, x < a \end{cases}$
5.  $n \geq 0$  τότε  $\int_{-\infty}^x (x - a)^n dx = \frac{(x-a)^{n+1}}{n+1}$
6.  $n < 0$  τότε  $\int_{-\infty}^x (x - a)^n dx = (x - a)^{n+1}$
7.  $n \geq 1$  τότε  $\frac{d}{dx} (x - a)^n = n(x - a)^{n-1}$

$$M(x) = R_1 \langle x \rangle^1 - P_1 \langle x - a \rangle^1 - P_2 \langle x - b \rangle^1 + R_2 \langle x - l \rangle^1$$



Στοιχεία Μηχανών - Διάλεξη 3

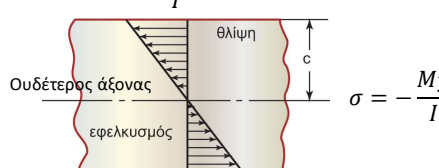
15

15

## Καμπτικές τάσεις δοκού



$$\sigma_{max} = \frac{Mc}{I}$$



### Ροπές αδράνειας επιφανειών, I

Shape	Area, A	Distances $c_1$ and $c_2$ to Outer Fibers	Moment of Inertia $I$ About Centroidal Axis 1-1
1. Rectangle	$bd$	$c_1 = c_2 = \frac{d}{2}$	$\frac{bd^3}{12}$
2. Trapezoid	$\frac{(B+b)d}{2}$	$c_1 = \frac{b+2B}{3(b+B)}d$ $c_2 = \frac{2b+B}{3(b+B)}d$	$\frac{(B^2 + 4bB + b^2)d^3}{36(b+B)}$
3. Triangle	$\frac{bd}{2}$	$c_1 = \frac{2d}{3}$ $c_2 = \frac{d}{3}$	$\frac{bd^3}{36}$
4. Solid circle	$\frac{\pi D^3}{4}$	$c = \frac{D}{2}$	$\frac{\pi D^4}{64}$
5. Hollow circle	$\frac{\pi(D_o^3 - D_i^3)}{4}$	$c = \frac{D_o}{2}$	$\frac{\pi(D_o^4 - D_i^4)}{64}$

Στοιχεία Μηχανών - Διάλεξη 3

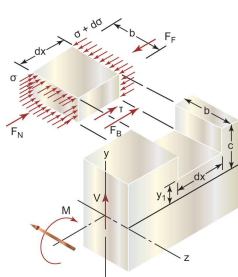
16

16

## Συνδυασμός Κάμψης-Διάτμησης



- Συνήθως έχουμε συνδυασμό κάμψης και διάτμησης
- Μεγιστοποιείται στον ουδέτερο άξονα, όπου οι καμπτικές και στρεπτικές τάσεις μηδενίζονται.



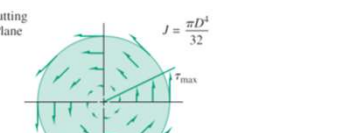
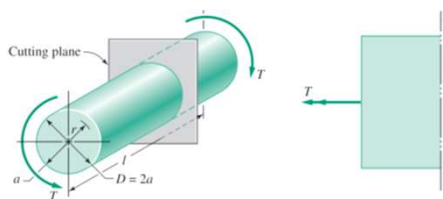
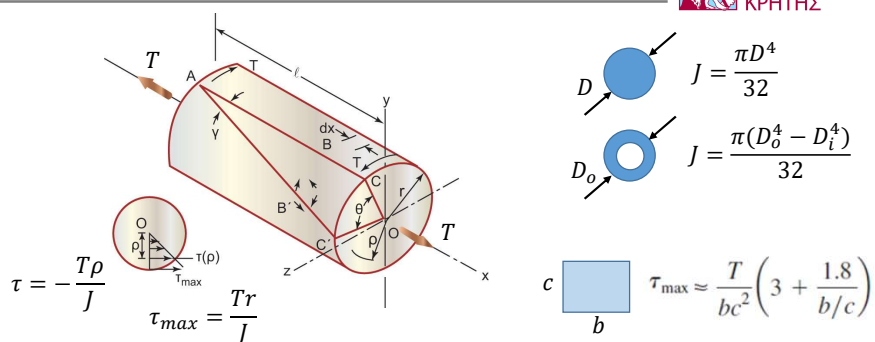
Beam Shape	Formula	Beam Shape	Formula
Rectangular	$\tau_{avg} = \frac{V}{A}$		$\tau_{max} = \frac{3V}{2A}$
Circular	$\tau_{avg} = \frac{V}{A}$	Hollow, thin-walled round	$\tau_{max} = \frac{2V}{A}$
	$\tau_{avg} = \frac{4V}{3A}$		
		Structural I beam (thin-walled)	$\tau_{max} \approx \frac{V}{A_{web}}$

Στοιχεία Μηχανών - Διάλεξη 3

17

17

## Στρέψη Δοκού



Στοιχεία Μηχανών - Διάλεξη 3

18

18

# Κριτήρια Αστοχίας

Αντοχή σε Στατική Φόρτιση

Στοιχεία Μηχανών - Διάλεξη 3

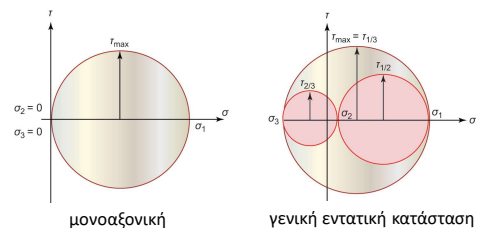
19

19

## Μέγιστη Διατμητική Τάση

- Γνωστό και ως κριτήριο Tresca
- Εφαρμόζεται σε ΟΛΚΙΜΑ υλικά, και θεωρεί την μέγιστη διατμητική τάση ως επαρκές κριτήριο σύγκρισης
- Σε μονοαξονική  $\tau_{max} = \sigma_1/2$

Έχουμε επαρκή αντοχή όταν  
 $\sigma_1 \leq S_y$    άρα     $\tau_{max} \leq S_y/2$



- Στην γενική εντατική κατάσταση οι κύριες τάσεις είναι

$$\sigma_1 > \sigma_2 > \sigma_3$$

και

$$\tau_{max} = \tau_{1/3} = \frac{\sigma_1 - \sigma_3}{2}$$

άρα  $\tau_{max} \leq S_y/2$

ή  $\sigma_1 - \sigma_3 \leq S_y$

Στοιχεία Μηχανών - Διάλεξη 3

20

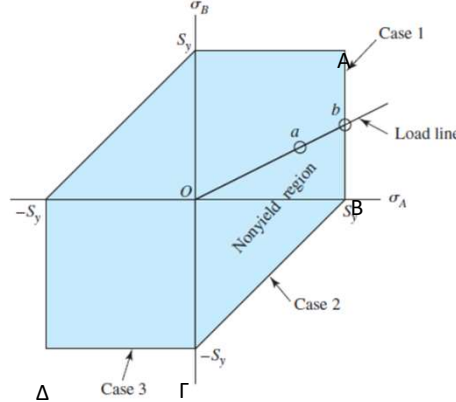
20

## Μέγιστη Διατμητική Τάση



- Επίπεδη φόρτιση, δλδ μία κύρια τάση είναι ίση με 0 και οι άλλες δύο συμβολίζονται με  $\sigma_A$  και  $\sigma_B$

- $\sigma_A > \sigma_B > 0$ .  
Δεξιά από το AB έχουμε αστοχία  
( $\sigma_A > S_y$ )
- $\sigma_A > 0 > \sigma_B$ .  
Δεξιά από το BG έχουμε αστοχία  
( $\sigma_A - \sigma_B > S_y$ )
- $0 > \sigma_A > \sigma_B$ . Κάτω από το ΓΔ  
έχουμε αστοχία  
( $\sigma_B < -S_y$ )



Έξω από το σκιαγραφημένο σχήμα  
έχουμε ΑΣΤΟΧΙΑ.

Συντελεστής ασφαλείας τυχαίας φόρτισης α  
 $N = \frac{|b|}{|a|}$

Στοιχεία Μηχανών - Διάλεξη 3

21

21

## Μέγιστο Έργο Παραμόρφωσης



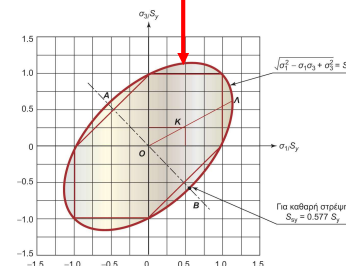
- Λέγεται και κριτήριο von Mises.
- Προβλέπει ότι το υλικό θα αστοχήσει σε διαρροή όταν η ενέργεια παραμόρφωσης ανά μονάδα όγκου ξεπεράσει την αντίστοιχη που παρατηρείται όταν το υλικό διαρρέει σε πείραμα εφελκυσμού.

$$\sigma' = \left[ \frac{(\sigma_1 - \sigma_2)^2 + (\sigma_2 - \sigma_3)^2 + (\sigma_3 - \sigma_1)^2}{2} \right]^{1/2} \geq S_y \quad \text{ΑΣΤΟΧΙΑ έξω από την έλλειψη}$$

Τάση von Mises

- Για επίπεδη φόρτιση (εάν μία κύρια τάση είναι 0)

$$\sigma' = (\sigma_A^2 - \sigma_A \sigma_B + \sigma_B^2)^{1/2} \geq S_y$$



Στοιχεία Μηχανών - Διάλεξη 3

22

22

## Μέγιστο Έργο Παραμόρφωσης



- Σε συντεταγμένες  $x, y, z$

$$\sigma' = \frac{1}{\sqrt{2}} [(\sigma_x - \sigma_y)^2 + (\sigma_y - \sigma_z)^2 + (\sigma_z - \sigma_x)^2 + 6(\tau_{xy}^2 + \tau_{yz}^2 + \tau_{zx}^2)]^{1/2}$$

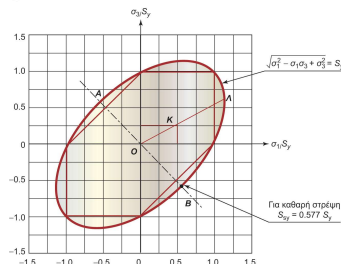
- Και στο επίπεδο

$$\sigma' = (\sigma_x^2 - \sigma_x \sigma_y + \sigma_y^2 + 3\tau_{xy}^2)^{1/2}$$

- Για καθαρή διάτμηση  $\sigma_x = \sigma_y = 0$

$$\tau_{xy} = \frac{S_y}{\sqrt{3}} = 0.577 S_y$$

(το κριτήριο Tresca δίνει αστοχία στο 50% του  $S_y$ )



Στοιχεία Μηχανών - Διάλεξη 3

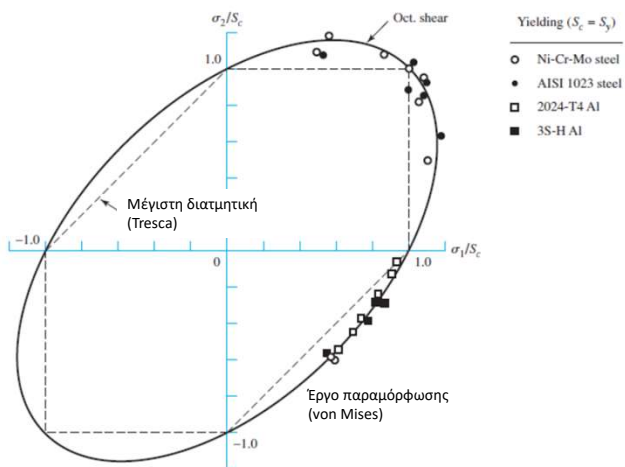
23

23

## Σύγκριση Tresca-von Mises



- Το κριτήριο Tresca είναι πιο συντηρητικό από το von Mises.



Στοιχεία Μηχανών - Διάλεξη 3

24

24

## Μέγιστη Ορθή Τάση



- Εφαρμόζεται κυρίως σε ΨΑΘΥΡΑ υλικά, οπότε χρησιμοποιείται το όριο θραύσης  $S_u$

$$\max(\sigma_1, \sigma_3) \leq S_{ut} \text{ και } \max(|\sigma_1|, |\sigma_3|) \leq S_{uc}$$

Όριο θραύσης σε εφελκυσμό (tension)

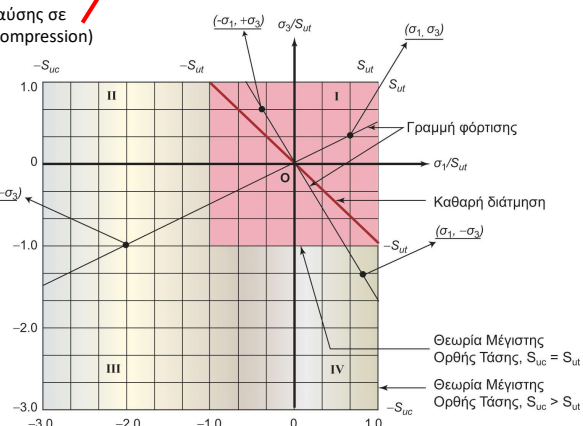
Όριο θραύσης σε θλίψη (compression)

• Περιοχή I: εφελκυσμός

• Περιοχή III: θλίψη

• Περιοχές II & IV:  
συνδυασμός εφελκυσμού &  
θλίψης. **Χαμηλή αξιοπιστία  
του κριτηρίου**

Στοιχεία Μηχανών - Διάλεξη 3



25

## Coulomb-Mohr



- Τροποποίηση του κριτηρίου ορθής τάσης για διόρθωση των περιοχών II & IV

$$\sigma_1 > 0 > \sigma_3 \text{ (Τεταρτημόριο IV)}$$

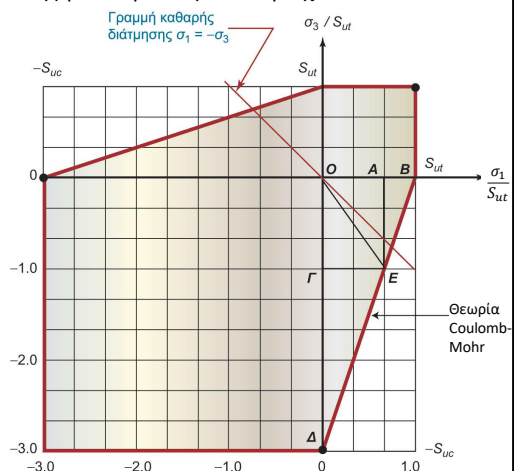
$$\frac{\sigma_1}{S_{ut}} - \frac{\sigma_3}{S_{uc}} \leq 1$$

ή με χρήση συντελεστή ασφαλείας  $N$

$$\frac{\sigma_1}{S_{ut}} - \frac{\sigma_3}{S_{uc}} \leq \frac{1}{N}$$

- Έτσι στις περιοχές II & IV έχουμε τις γραμμές υπό κλίση που ορίζει η παραπάνω σχέση

- ΑΣΤΟΧΙΑ έχουμε έξω από τα όρια του σκιαγραφημένου πολυγώνου



Στοιχεία Μηχανών - Διάλεξη 3

26

26

## Coulomb-Mohr



- Τροποποίηση του κριτηρίου ορθής τάσης για διόρθωση των περιοχών II & IV

$$\sigma_1 > 0 > \sigma_3 \quad (\text{Τεταρτημόριο IV})$$

$$\frac{\sigma_1}{S_{ut}} - \frac{\sigma_3}{S_{uc}} \leq 1$$

ή με χρήση συντελεστή ασφαλείας N

$$\frac{\sigma_1}{S_{ut}} - \frac{\sigma_3}{S_{uc}} \leq \frac{1}{N}$$

Στο βιβλίο του Παπαδόπουλου ο τύπος αυτός είναι

$$\frac{\sigma_1}{S_{ut}} + \frac{\sigma_3}{S_{uc}} \leq \frac{1}{N}$$

Επισημαίνεται ότι χρησιμοποιεί τις απόλυτες τιμές της τάσης!!!

- Έτσι στις περιοχές II & IV έχουμε τις γραμμές υπό κλίση που ορίζει η παραπάνω σχέση
- ΑΣΤΟΧΙΑ έχουμε έξω από τα όρια του σκιαγραφημένου πολυγώνου

Στοιχεία Μηχανών - Διάλεξη 3

27

27

## Τροποποιημένη Coulomb-Mohr



$$\sigma_1 > 0 > \sigma_3$$

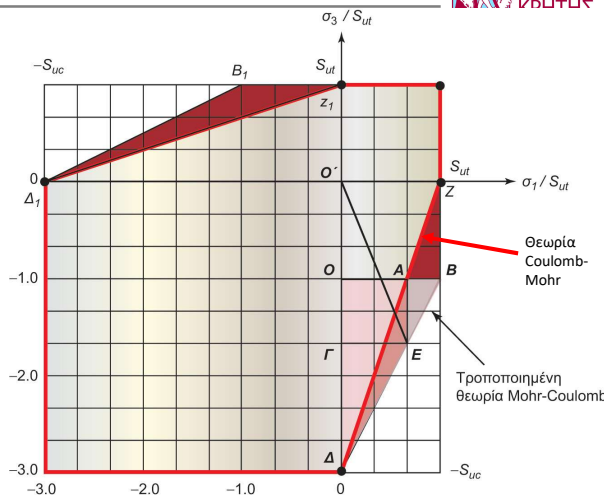
Τεταρτημόριο IV

θετική αρνητική

$$\frac{\sigma_1}{S_{ut}} - \frac{\sigma_3}{S_{uc} - S_{ut}} \leq \frac{\lambda}{N}$$

όπου

$$\lambda = \frac{S_{uc}}{S_{uc} - S_{ut}}$$



Στοιχεία Μηχανών - Διάλεξη 3

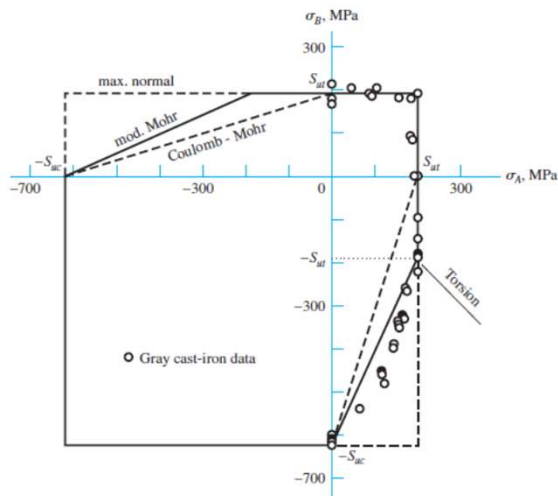
28

28

## Δοκίμια σιδήρου



- Η τροποποίηση της Coulomb-Mohr υποστηρίζεται από πειραματικά δεδομένα



Στοιχεία Μηχανών -

29

Ερωτήσεις?



Στοιχεία Μηχανών - Διάλεξη 3

30

30



# Στοιχεία Μηχανών

## Ασκήσεις

**Ανάλυση Τάσεων-Παραμορφώσεων  
Κριτήρια Στατικής Αστοχίας**

Παναγιώτης Αλευράς  
(palevras@tuc.gr)

Στοιχεία Μηχανών - Διάλεξη 3

1

1

## Άσκηση 1



- Εφαρμογή κριτηρίων von Mises, Tresca
- Χρήση γραφικής μεθόδου για τον υπολογισμό συντελεστή ασφαλείας

(α) Μία όλκη χαλύβδινη δοκός έχει όριο διαρροής  $S_y=350 \text{ MPa}$ . Χρησιμοποιήστε τα κριτήρια μέγιστης διατμητικής (Tresca) και έργου παραμόρφωσης (von Mises) για να προσδιορίσετε τον συντελεστή ασφαλείας για τις παρακάτω εντατικές καταστάσεις

- $\sigma_x = 100 \text{ MPa}, \sigma_y = 50 \text{ MPa}$
- $\sigma_x = -50 \text{ MPa}, \sigma_y = -75 \text{ MPa}, \tau_{xy} = -50 \text{ MPa}$

(β) Σχεδιάστε την όριο αστοχίας σε διάγραμμα κύριων τάσεων και τη γραμμή φόρτισης των παραπάνω περιπτώσεων. Υπολογίστε γραφικά τον συντελεστή ασφαλείας.

Στοιχεία Μηχανών - Διάλεξη 3

2

2

1

## Άσκηση 1 (Λύση)

- (α)i. Έχουμε μόνο δύο ορθές τάσεις,  $\sigma_x = 100 \text{ MPa}$ ,  $\sigma_y = 50 \text{ MPa}$ , άρα:
- Η τρίτη ορθή είναι μηδέν, οπότε έχουμε επίπεδη εντατική κατάσταση
  - Έχουμε μηδενικές διατμητικές, οπότε οι δοσμένες τάσεις είναι οι κύριες τάσεις

$$\sigma_1 = 100 \text{ MPa}, \sigma_2 = 50 \text{ MPa}, \sigma_3 = 0$$

Tresca       $\sigma_1 - \sigma_3 \leq \frac{S_y}{N} \Rightarrow 100 - 0 \leq \frac{350}{N} \Rightarrow N \leq 3.5$

Άρα            **N = 3.5**

von Mises     $\sigma' = \left[ \frac{(\sigma_1 - \sigma_2)^2 + (\sigma_2 - \sigma_3)^2 + (\sigma_3 - \sigma_1)^2}{2} \right]^{1/2}$

$$\sigma' = \left[ \frac{(100 - 50)^2 + (50 - 0)^2 + (0 - 100)^2}{2} \right]^{1/2} \leq \frac{S_y}{N}$$

$$86.6 \leq \frac{350}{N} \Rightarrow N \leq 4 \quad \text{Άρα} \quad \textcolor{red}{N = 4}$$

Στοιχεία Μηχανών - Διάλεξη 3

3

3

## Άσκηση 1 (Λύση)

- (α)ii. Έχουμε ορθές και διατμητικές τάσεις,  $\sigma_x = -50 \text{ MPa}$ ,  $\sigma_y = -75 \text{ MPa}$ ,  $\tau_{xy} = -50 \text{ MPa}$ , άρα:
- Η τρίτη ορθή είναι μηδέν, οπότε έχουμε επίπεδη εντατική κατάσταση
  - Πρέπει να υπολογίσουμε τις κύριες τάσεις.

$$\sigma_1, \sigma_2 = \frac{\sigma_x + \sigma_y}{2} \pm \sqrt{\left( \frac{\sigma_x - \sigma_y}{2} \right)^2 + \tau_{xy}^2}$$

$$\sigma_1, \sigma_2 = \frac{-50 - 75}{2} \pm \sqrt{\left( \frac{-50 + 75}{2} \right)^2 + (-50)^2}$$

$$\sigma_1 = -11 \text{ MPa} \quad \text{και} \quad \sigma_2 = -114 \text{ MPa}$$

Γράφουμε τις κύριες τάσεις σε φθίνουσα σειρά χωρίς να ξεχνάμε την τρίτη που είναι 0!!

$$\sigma_1 = 0 \text{ MPa}, \sigma_2 = -11 \text{ MPa}, \sigma_3 = -114 \text{ MPa}$$

Στοιχεία Μηχανών - Διάλεξη 3

4

4

## Άσκηση 1 (Λύση)



(α)ii.

$$\text{Tresca} \quad \sigma_1 - \sigma_3 \leq \frac{S_y}{N} \Rightarrow 0 - (-114) \leq \frac{350}{N} \Rightarrow N \leq 3.07$$

Άρα  $N = 3.07$

$$\text{von Mises} \quad \sigma' = \left[ \frac{(\sigma_1 - \sigma_2)^2 + (\sigma_2 - \sigma_3)^2 + (\sigma_3 - \sigma_1)^2}{2} \right]^{1/2}$$

$$\sigma' = \left[ \frac{(0 + 11)^2 + (-11 + 114)^2 + (-114 - 0)^2}{2} \right]^{1/2} \leq \frac{S_y}{N}$$

$$108.9 \leq \frac{350}{N} \Rightarrow N \leq 3.21 \quad \text{Άρα} \quad N = 3.21$$

Εναλλακτικά μπορούμε να χρησιμοποιήσουμε τον τύπο:  $\sigma' = [\sigma_x^2 - \sigma_x \sigma_y + \sigma_y^2 + 3\tau_{xy}]^{1/2}$

Στοιχεία Μηχανών - Διάλεξη 3

5

5

## Άσκηση 1 (Λύση)



$$(\beta)i. \quad \sigma_1 = 100 \text{ MPa}, \sigma_2 = 50 \text{ MPa}, \sigma_3 = 0$$

- 1) Εντοπίζουμε τα σημεία  $S_y$  στους άξονες
- 2) Ενώνουμε με γραμμές, και σχεδιάζουμε τις συμμετρικές
- 3) Το πολύγωνο που περικλείεται μας δίνει το όριο αστοχίας κατά Tresca
- 4) Σχεδιάζουμε έλλειψη που να περνάει από τις κορυφές του πολυγώνου.
- 5) Η έλλειψη μας δίνει το όριο αστοχίας κατά von Mises.
- 6) Σημειώνουμε το σημείο που αντιστοιχεί στην φόρτιση
- 7) Σχεδιάζουμε γραμμή από το ΟΑ έως και τα όρια αστοχίας.

$$8) \quad N = \frac{|OB|}{|OA|} \text{ (Tresca)}$$

$$N = \frac{|OC|}{|OA|} \text{ (von Mises)}$$

Στοιχεία Μηχανών - Διάλεξη 3

6

6

## Άσκηση 2

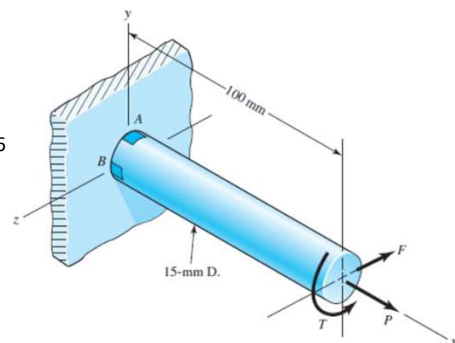


- Υπολογισμός τάσεων υπό κάμψη, στρέψη & διάτμηση
- Εφαρμογή κριτηρίου von Mises
- Υπολογισμός συντελεστή ασφαλείας

Η πακτωμένη δοκός του σχήματος υπόκειται σε στρεπτική ροπή  $T=25 \text{ Nm}$ , εφελκυστική δύναμη  $P=4 \text{ kN}$ , και διάτμηση υπό την  $F=0.55 \text{ kN}$ . Το υλικό της δοκού είναι χάλυβας AISI 1006 με όριο διαρροής  $S_y=280 \text{ MPa}$ .

Υπολογίστε τον συντελεστή ασφαλείας σύμφωνα με το κριτήριο έργου παραμόρφωσης – von Mises.

*TIP: χρησιμοποιήστε τα επιφανειακά στοιχεία A και B για τους υπολογισμούς των τάσεων*



Στοιχεία Μηχανών - Διάλεξη 3

7

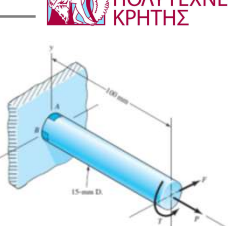
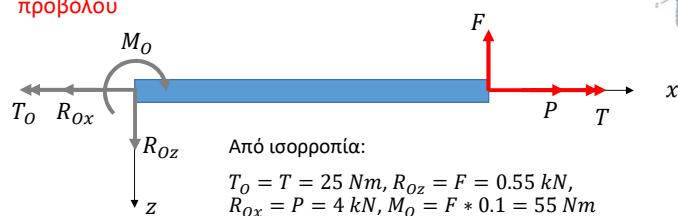
7

## Άσκηση 2 (Λύση)



Γιατί τα στοιχεία A και B που επιλέγουμε είναι ακριβώς δίπλα στην πάκτωση?

Γιατί η φόρτιση παίρνει τη μέγιστη τιμή της στη στήριξη του προβόλου



$$N_x(x) = R_{Ox} \quad V_z(x) = R_{Oz} \quad M_y(x) = M_O - R_{Oz}x \quad T_x(x) = T_O$$

$$M_y(x) = 55 - 550x \quad T_x(x) = 25 \text{ Nm}$$

$$N_x(x) = 4 \text{ kN}$$

$$V_z(x) = 0.55 \text{ kN}$$

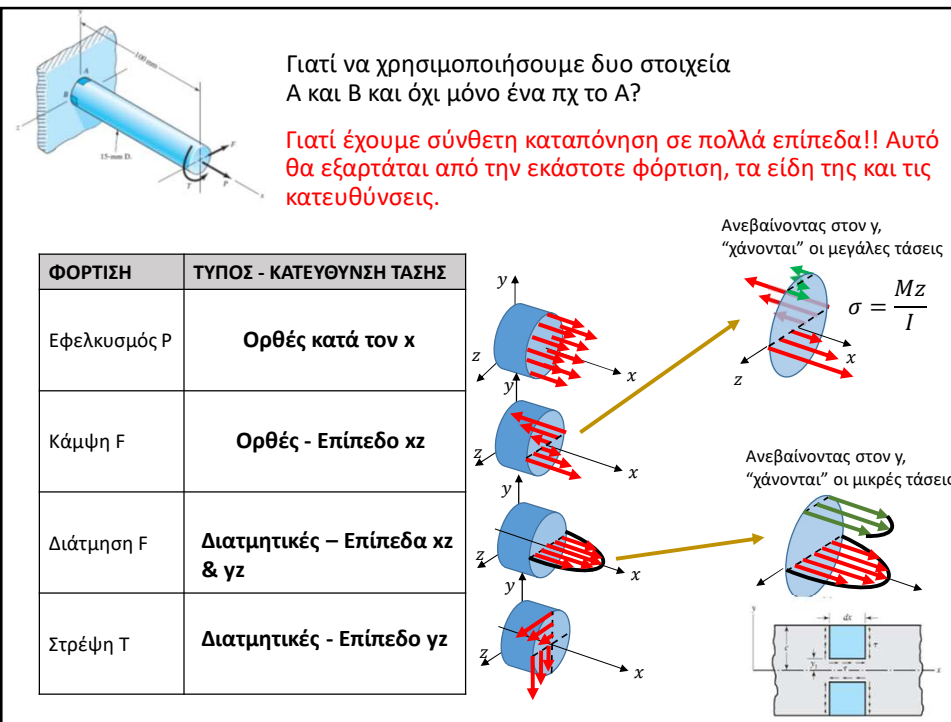
$$M_y(x) = 55 \text{ Nm}$$

$$T_x(x) = 25 \text{ Nm}$$

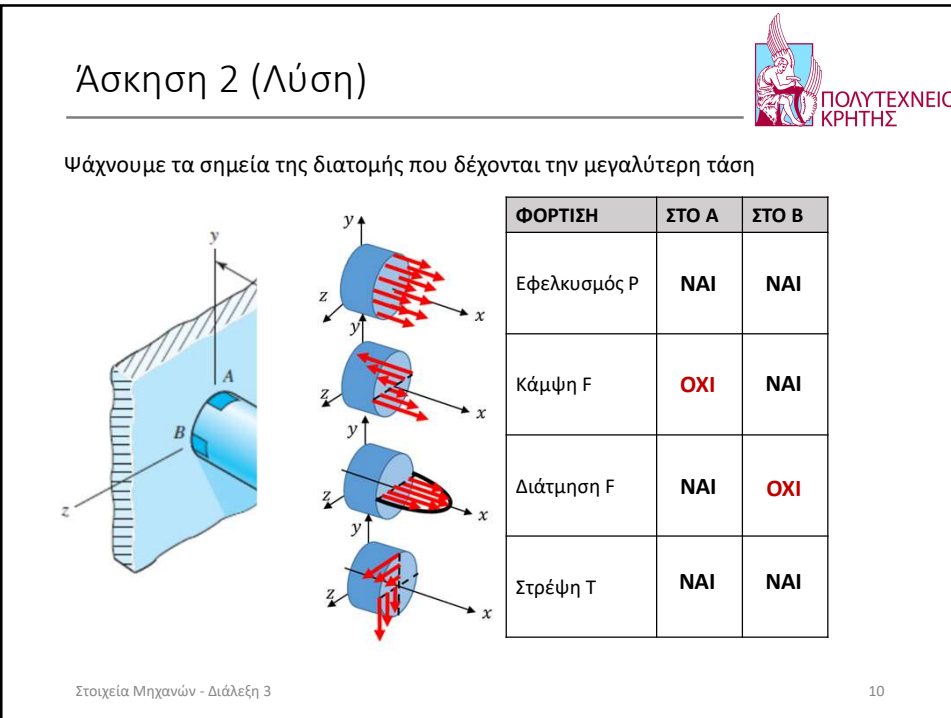
Στοιχεία Μηχανών - Διάλεξη 3

8

8



9



10

## Άσκηση 2 (Λύση)

Ψάχνουμε τα σημεία της διατομής που δέχονται την μεγαλύτερη τάση

ΦΟΡΤΙΣΗ	ΣΤΟ Α	ΣΤΟ Β
Εφελκυσμός P	NAI	NAI
Κάμψη F	OXI	NAI
Διάτμηση F	NAI	OXI
Στρέψη T	NAI	NAI

### Για το Α

$$\sigma_x = \frac{4P}{\pi d^2} = \frac{4*4000}{\pi 0.015^2} = 22.6 \text{ MPa}$$

$$\tau_{xy} = \frac{16T}{\pi d^3} + \frac{4V}{3A} = \frac{16*25}{\pi 0.015^3} + \frac{4*550}{3(\pi 0.015^3/4)} = 41.9 \text{ MPa}$$

Υπολογισμός τάσης von Mises

$$\sigma' = [22.6^2 + 3 * 41.9^2]^{1/2} = 76 \text{ MPa}$$

$$\text{Άρα } N = S_y / \sigma' = 280 / 76 \Rightarrow N = 3.68$$

### Για το Β

$$\sigma_x = \frac{32Fl}{\pi d^3} + \frac{4P}{\pi d^2} = \frac{32*550*0.1}{\pi 0.015^3} + \frac{4*4000}{\pi 0.015^2} = 189 \text{ MPa} \quad \text{Υπολογισμός τάσης von Mises}$$

$$\tau_{xy} = \frac{16T}{\pi d^3} = \frac{16*25}{\pi 0.015^3} = 37.7 \text{ MPa}$$

$$\sigma' = [189^2 + 3 * 37.7^2]^{1/2} = 200 \text{ MPa}$$

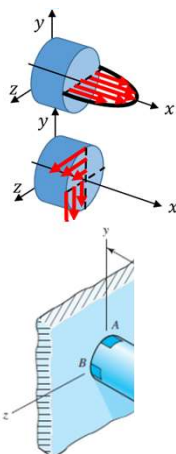
$$\text{Άρα } N = S_y / \sigma' = 280 / 200 \Rightarrow N = 1.4$$

Στοιχεία Μηχανών - Διάλεξη 3

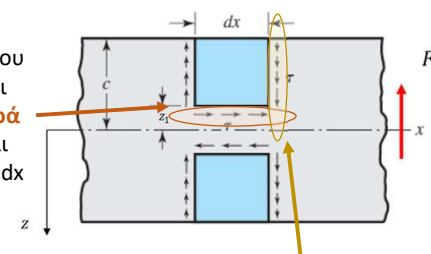
11

## Άσκηση 2 (Λύση)

ΠΑΡΑΤΗΡΗΣΗ 1: Γιατί αθροίζουμε τις διατμητικές από τη στρέψη και τη διάτμηση στο Α?

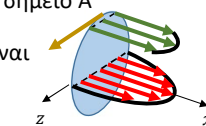


Οι τάσεις από διάτμηση που σχεδιάσαμε εφαρμόζονται στη **κάτω οριζόντια πλευρά** του κομματιού  $dx$  και είναι **σταθερές** κατά μήκος του  $dx$



Επίσης, συνυπάρχουν οι τάσεις στην **δεξιά κάθετη πλευρά** του κομματιού  $dx$  και **μειώνονται** κατά μήκος του  $z$ . Οι οριζόντιες και κάθετες διατμητικές είναι ίσες στις κορυφές όπου  $z = z_1$ .

Στο σημείο A, αυτές οι «**κάθετες**» διατμητικές είναι συγγραμμικές με τις στρεπτικές διατμητικές!!!



Στοιχεία Μηχανών - Διάλεξη 3

12

### Άσκηση 3



- Υπολογισμός τάσεων υπό σύνθετη κάμψη και στρέψη
- Εφαρμογή κριτηρίων von Mises και Tresca.
- Υπολογισμός αντοχής με δεδομένο συντελεστή ασφαλείας

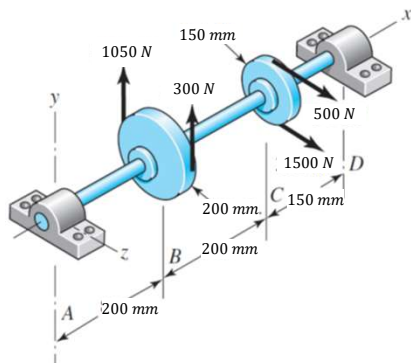
Ο άξονας του σχήματος είναι από AISI 1035 CD χάλυβα, στηρίζεται στα έδρανα A και D και φέρει τροχαλίες στα B και C, με τις δυνάμεις που φαίνονται να ασκούνται από τους ιμάντες.

Υπολογίστε την απαιτούμενη διάμετρο άξονα d, με συντελεστή ασφαλείας 2 σύμφωνα με

- το κριτήριο μέγιστης διατμητικής τάσης – Tresca.

- το κριτήριο έργου παραμόρφωσης – von Mises.

Θεωρείστε μόνο κάμψη και στρέψη (αγνοήστε την διάτμηση).



Στοιχεία Μηχανών - Διάλεξη 3

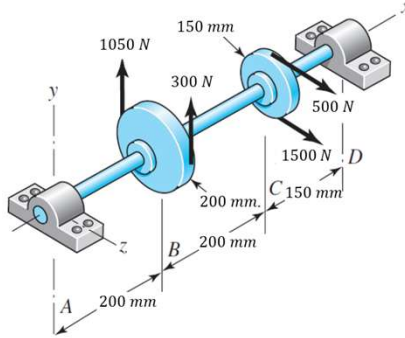
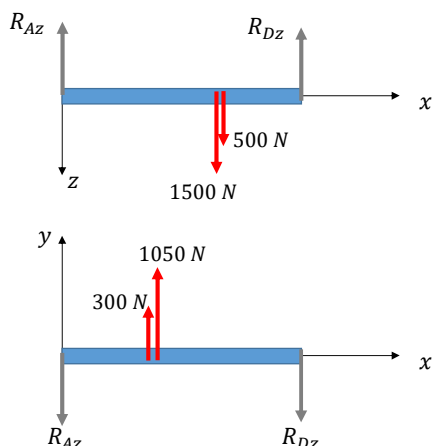
13

13

### Άσκηση 3 (Λύση)



Πρώτο βήμα ο υπολογισμός των αντιδράσεων στήριξης. Ποιες δυνάμεις υπάρχουν στις αντιδράσεις των εδράνων A και D?



Στοιχεία Μηχανών - Διάλεξη 3

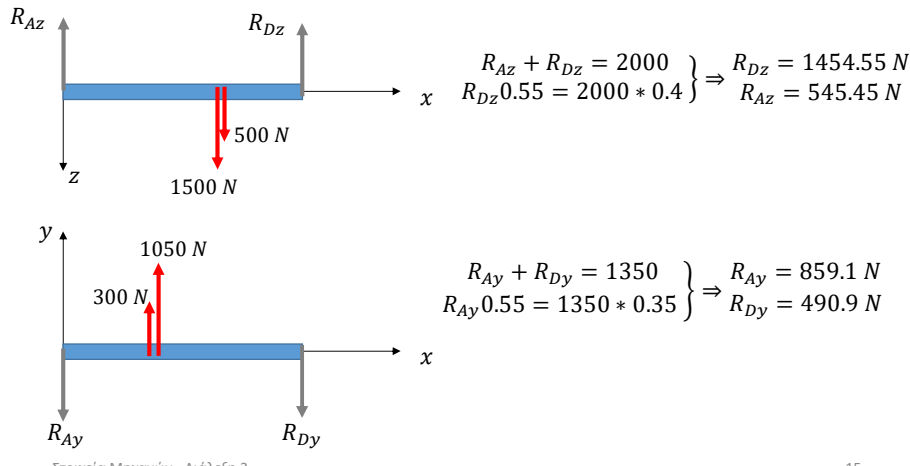
14

14

### Άσκηση 3 (Λύση)



Πρώτο βήμα ο υπολογισμός των αντιδράσεων στήριξης. Ποιες δυνάμεις υπάρχουν στις αντιδράσεις των εδράνων A και D?



15

15

### Άσκηση 3 (Λύση)



Δεύτερο βήμα τα διαγράμματα καμπτικών και στρεπτικών ροπών.

#### I) ΣΤΡΕΨΗ

Τμήμα AB

Κοιτώντας από αριστερά  
 $T = 0$

Τμήμα BC

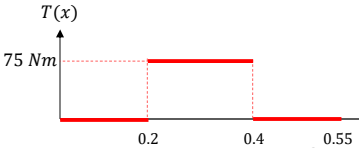
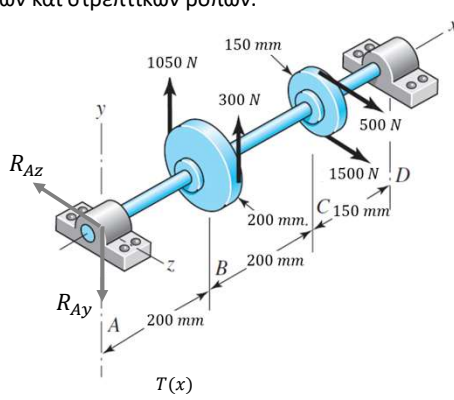
$$T = (1050 - 300) \frac{0.2}{2}$$

$$T = 75 \text{ Nm}$$

Τμήμα CD

$$T = (1050 - 300) \frac{0.2}{2} + (500 - 1500) \frac{0.15}{2}$$

$$T = 0 \text{ Nm}$$



16

16

### Άσκηση 3 (Λύση)



Δεύτερο βήμα τα διαγράμματα καμπτικών και στρεπτικών ροπών.

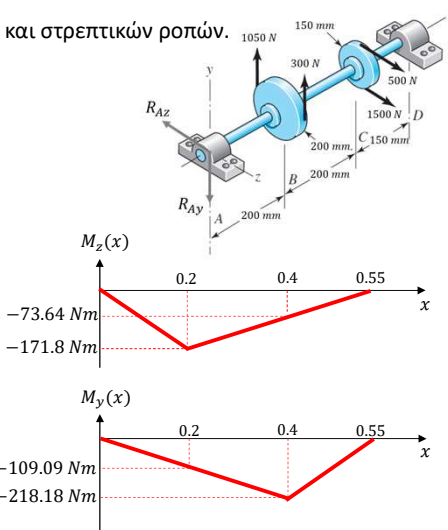
II) Κάμψη **Σε ποιο(a) επίπεδο(a) ασκείται?**

1. Η τροχαλία B κάμπτει τον άξονα στο xy, ροπή κατά τον z.

$$\begin{aligned} AB: M_z(x) &= -R_{Ay} x = -859.1x \\ BC: M_z(x) &= -859.1x + 1350(x - 0.2) \\ CD: M_z(x) &= -859.1x + 1350(x - 0.2) \end{aligned}$$

2. Η τροχαλία C κάμπτει στο xz, ροπή κατά τον y.

$$\begin{aligned} AB: M_y(x) &= -R_{Az} x = -545.45x \\ BC: M_y(x) &= -545.45x \\ CD: M_y(x) &= -545.45x + 2000(x - 0.4) \end{aligned}$$



Στοιχεία Μηχανών - Διάλεξη 3

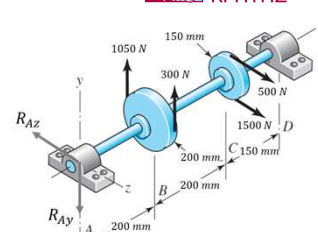
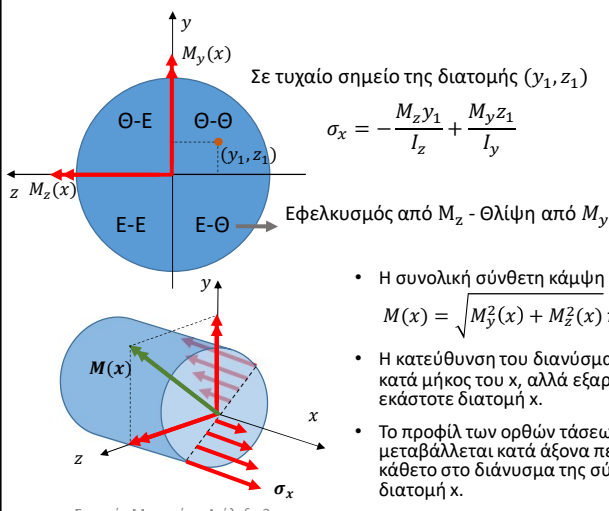
17

17

### Άσκηση 3 (Λύση)



Σύνθετη κάμψη διατομής



- Η συνολική σύνθετη κάμψη εφαρμόζεται από ροπή  $M(x) = \sqrt{M_y^2(x) + M_z^2(x)}$  που δεν συμπίπτει με τους άξονες y,z.
- Η κατεύθυνση του διανύσματος της ροπής  $M(x)$  δεν είναι σταθερή κατά μήκος του x, αλλά εξαρτάται από το μέγεθος των  $M_y, M_z$  στην εκάστοτε διατομή x.
- Το προφίλ των ορθών τάσεων είναι ίδιο με της απλής κάμψης, αλλά μεταβάλλεται κατά άξονα περιστραμμένο σε σχέση με τους γ,y,z κάθετο στο διάνυσμα της σύνθετης ροπής  $M(x)$  που κάμπτει την διατομή x.
- Μέγιστη τάση πάλι στην εξωτερική επιφάνεια του άξονα.

18

18

### Άσκηση 3 (Λύση)



Δεύτερο βήμα τα διαγράμματα καμπτικών και στρεπτικών ροπών.

#### II) Κάμψη

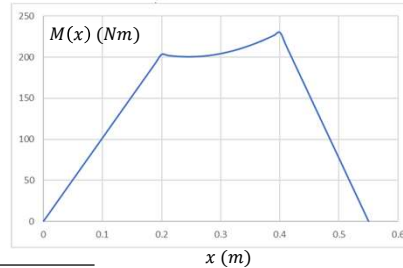
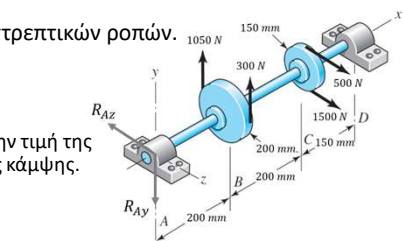
Έχουμε σύνθετη κάμψη από την  $M(x)$ , πρέπει να βρούμε την τιμή της σε κάθε  $x$ , για να σχεδιάσουμε το διάγραμμα της σύνθετης κάμψης.

$$M(x) = \sqrt{M_y^2(x) + M_z^2(x)}$$

$$\text{AB: } M(x) = \sqrt{M_z^2 + M_y^2} = \sqrt{(-859.1x)^2 + (-545.45x)^2} \cong 1017x$$

$$\text{BC: } M(x) = \sqrt{(-859.1x + 1350(x - 0.2))^2 + (-545.45x)^2}$$

$$\text{CD: } M(x) = \sqrt{(-859.1x + 1350(x - 0.2))^2 + (-545.45x + 2000(x - 0.4))^2}$$



Στοιχεία Μηχανών - Διάλεξη 3

19

19

### Άσκηση 3 (Λύση)

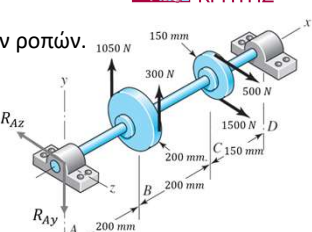


Δεύτερο βήμα τα διαγράμματα καμπτικών και στρεπτικών ροπών.

#### II) Κάμψη

Εναλλακτικά, μπορούμε να υπολογίσουμε την ροπή  $M(x)$  στα σημεία B και C, αφού εκεί περιμένουμε ότι θα είναι οι μέγιστες ροπές.

$$M(B) = \sqrt{M_y^2(0.2) + M_z^2(0.2)} = \sqrt{109.09^2 + 171.8^2} \\ M(0.2) = 203.53 \text{ Nm}$$



Ποιο σημείο θα χρησιμοποιήσουμε για τους υπολογισμούς της αντοχής?

$$M(C) = \sqrt{M_y^2(0.4) + M_z^2(0.4)} = \sqrt{218.18^2 + 73.64^2} \\ M(0.2) = 230.27 \text{ Nm}$$

Το C, αφού  $M(x = C) > M(x = B)$

Στοιχεία Μηχανών - Διάλεξη 3

20

20

### Άσκηση 3 (Λύση)



Τρίτο βήμα ο υπολογισμός των τάσεων στην ΕΠΙΚΙΝΔΥΝΗ ΔΙΑΤΟΜΗ, η οποία βρίσκεται στο C, x=0.4m

- 1) Ορθές τάσεις από Κάμψη

$$\sigma_{x,max} = \frac{M(d/2)}{I} = \frac{203.27(d/2)}{(\pi d^4/64)}$$

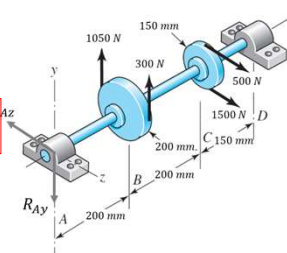
$$\sigma_{x,max} = 2070.5/d^3$$

- 2) Διατμητικές τάσεις από Στρέψη

$$\tau_{max} = \frac{Tr}{J} = \frac{75(d/2)}{(\pi d^4/32)} = 382/d^3$$

$$J = \frac{\pi D^4}{32}$$

Στοιχεία Μηχανών - Διάλεξη 3



Shape	Area, A	Distances c <sub>1</sub> and c <sub>2</sub> to Outer Fibers	Moment of Inertia I About Centroidal Axis 1-1
4. Solid circle	$\frac{\pi D^2}{4}$	$c = \frac{D}{2}$	$\frac{\pi D^4}{64}$

$$\sigma_{x,max} = 2070.5/d^3$$

$$\tau_{max} = 382/d^3$$

21

21

### Άσκηση 3 (Λύση)



Τέταρτο βήμα η εφαρμογή των κριτηρίων αστοχίας

- 1) Μέγιστη Διατμητική Τάση – Tresca

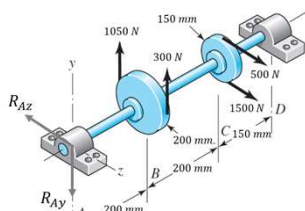
$$\tau_{Tresca} = \sqrt{\left(\frac{\sigma_{x,max}}{2}\right)^2 + \tau_{max}^2} = \sqrt{\left(\frac{2070.5}{2d^3}\right)^2 + \left(\frac{382}{d^3}\right)^2}$$

$$\tau_{Tresca} = \frac{1103.5}{d^3}$$

$$\tau_{Tresca} \leq \frac{S_y}{2N} \Rightarrow \frac{1103.5}{d^3} \leq \frac{S_y}{2N} \Rightarrow d^3 \geq \frac{2207N}{S_y}$$

$$\sigma_{x,max} = 2070.5/d^3$$

$$\tau_{max} = 382/d^3$$



Συντελεστής ασφαλείας δίνεται  $N=2$

Για AISI 1035 CD χάλυβα,  $S_y = 460 \text{ MPa} = 460 \cdot 10^{-6} \text{ N/m}^2$

Άρα  $d \geq 21.25 \text{ mm}$  κατά Tresca

Στοιχεία Μηχανών - Διάλεξη 3

22

22

### Άσκηση 3 (Λύση)



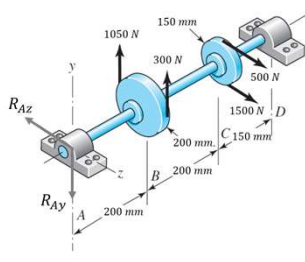
Τέταρτο βήμα η εφαρμογή των κριτηρίων αστοχίας

2) Έργο Παραμόρφωσης – von Mises

$$\sigma' = \sqrt{\sigma_{x,max}^2 + 3\tau_{max}^2} = \sqrt{\left(\frac{2070.5}{d^3}\right)^2 + 3\left(\frac{382}{d^3}\right)^2}$$

$$\sigma' = \frac{2173.6}{d^3}$$

$$\sigma' \leq \frac{S_y}{N} \Rightarrow \frac{2173.6}{d^3} \leq \frac{S_y}{N} \Rightarrow d^3 \geq \frac{2173.6N}{S_y}$$



$$\sigma_{x,max} = 2070.5/d^3$$

$$\tau_{max} = 382/d^3$$

Συντελεστής ασφαλείας δίνεται **N=2**

Για AISI 1035 CD χάλυβα,  $S_y = 460 \text{ MPa} = 460 \cdot 10^{-6} \text{ N/m}^2$

Στοιχεία Μηχανών - Διάλεξη 3

Άρα  $d \geq 21.14 \text{ mm}$  κατά von Mises

23

23

### Άσκηση 4



- Εφαρμογή κριτηρίων Coulomb-Mohr (CM) και Τροποποιημένης Coulomb-Mohr (MCM)

(α) Ένα ψαθυρό υλικό έχει όρια θραύσης  $S_{ut}=200 \text{ MPa}$  και  $S_{uc}=600 \text{ MPa}$ . Χρησιμοποιήστε τα κριτήρια CM και MCM για να προσδιορίσετε τον συντελεστή ασφαλείας για τις παρακάτω εντατικές καταστάσεις

i.  $\sigma_x = 100 \text{ MPa}, \sigma_y = -100 \text{ MPa}$

ii.  $\sigma_x = -100 \text{ MPa}, \sigma_y = 60 \text{ MPa}, \tau_{xy} = -100 \text{ MPa}$

(β) Σχεδιάστε το όριο αστοχίας σε διάγραμμα κύριων τάσεων και τη γραμμή φόρτισης των παραπάνω περιπτώσεων. Υπολογίστε γραφικά τον συντελεστή ασφαλείας.

Στοιχεία Μηχανών - Διάλεξη 3

24

24

## Άσκηση 4 (Λύση)

(α)i. Έχουμε μόνο δύο ορθές τάσεις,  $\sigma_x = 100 \text{ MPa}$ ,  $\sigma_y = -100 \text{ MPa}$ , άρα:

- Η τρίτη ορθή είναι μηδέν, οπότε έχουμε επίπεδη εντατική κατάσταση
- Έχουμε μηδενικές διατμητικές, οπότε οι δοσμένες τάσεις είναι οι κύριες τάσεις

$$\sigma_1 = 100 \text{ MPa}, \sigma_2 = 0 \text{ MPa}, \sigma_3 = -100 \text{ MPa}$$

CM Σε ποιο τεταρτημόριο είμαστε? IV

$$\frac{\sigma_1}{S_{ut}} - \frac{\sigma_3}{S_{uc}} \leq \frac{1}{N} \Rightarrow \frac{100}{200} + \frac{100}{600} \leq \frac{1}{N} \Rightarrow N \leq 1.5 \quad \text{Άρα } \textcolor{red}{N = 1.5}$$

MCM Πάλι ελέγχουμε το τεταρτημόριο...  $\lambda = \frac{S_{uc}}{S_{uc} - S_{ut}} = \frac{600}{600 - 200} = 1.5$

$$\frac{\sigma_1}{S_{ut}} - \frac{\sigma_3}{S_{uc} - S_{ut}} \leq \frac{\lambda}{N} \Rightarrow \frac{100}{200} + \frac{100}{600 - 200} \leq \frac{1.5}{N} \Rightarrow \frac{3}{4} \leq \frac{1.5}{N} \Rightarrow N \leq 2$$

Άρα N = 2

Στοιχεία Μηχανών - Διάλεξη 3

25

25

## Άσκηση 4 (Λύση)

(α)ii. Έχουμε ορθές και διατμητικές τάσεις,  $\sigma_x = -100 \text{ MPa}$ ,  $\sigma_y = -60 \text{ MPa}$ ,  $\tau_{xy} = -100 \text{ MPa}$ , άρα:

- Η τρίτη ορθή είναι μηδέν, οπότε έχουμε επίπεδη εντατική κατάσταση
- Πρέπει να υπολογίσουμε τις κύριες τάσεις.

$$\sigma_1, \sigma_2 = \frac{\sigma_x + \sigma_y}{2} \pm \sqrt{\left(\frac{\sigma_x - \sigma_y}{2}\right)^2 + \tau_{xy}^2}$$

$$\sigma_1, \sigma_2 = \frac{-100 - 60}{2} \pm \sqrt{\left(\frac{-100 + 60}{2}\right)^2 + (-100)^2}$$

$$\sigma_1 = 21.98 \text{ MPa} \quad \text{και} \quad \sigma_2 = -181.98 \text{ MPa}$$

Γράφουμε τις κύριες τάσεις σε φθίνουσα σειρά χωρίς να ξεχνάμε την τρίτη που είναι 0!!

$$\sigma_1 = 21.98 \text{ MPa}, \sigma_2 = 0 \text{ MPa}, \sigma_3 = -181.98 \text{ MPa}$$

Στοιχεία Μηχανών - Διάλεξη 3

26

26

## Άσκηση 4 (Λύση)



(α)ii.  $\sigma_1 = 21.98 \text{ MPa}, \sigma_2 = 0 \text{ MPa}, \sigma_3 = -181.98 \text{ MPa}$

CM Σε ποιο τεταρτημόριο είμαστε? **IV**

$$\frac{\sigma_1}{S_{ut}} - \frac{\sigma_3}{S_{uc}} \leq \frac{1}{N} \Rightarrow \frac{21.98}{200} + \frac{181.98}{600} \leq \frac{1}{N} \Rightarrow N \leq 2.42 \text{ Άρα } N = 2.42$$

MCM Πάλι ελέγχουμε το τεταρτημόριο...  $\lambda = \frac{S_{uc}}{S_{uc} - S_{ut}} = \frac{600}{600 - 200} = 1.5$

$$\frac{\sigma_1}{S_{ut}} - \frac{\sigma_3}{S_{uc} - S_{ut}} \leq \frac{\lambda}{N} \Rightarrow \frac{21.98}{200} + \frac{181.98}{600 - 200} \leq \frac{1.5}{N} \Rightarrow N \leq 2.66$$

Άρα **N = 2.66**

Στοιχεία Μηχανών - Διάλεξη 3

27

27

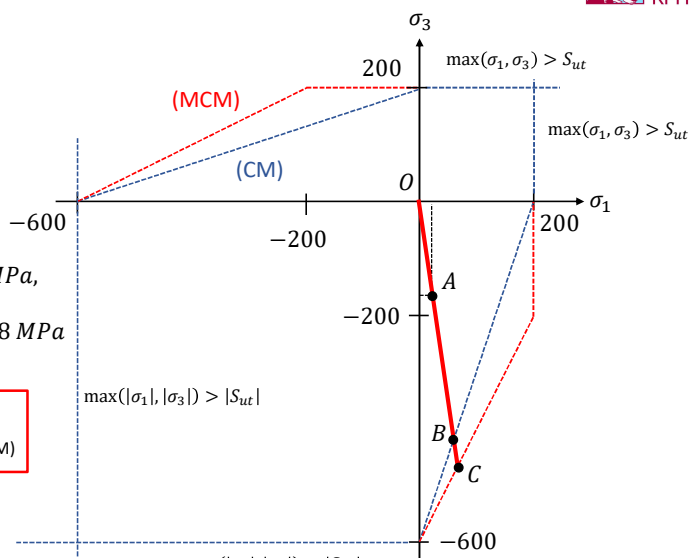
## Άσκηση 4 (Λύση)



(β)ii.

$$\begin{aligned} \sigma_1 &= 21.98 \text{ MPa}, \\ \sigma_2 &= 0 \text{ MPa}, \\ \sigma_3 &= -181.98 \text{ MPa} \end{aligned}$$

$$\begin{aligned} N &= \frac{|OB|}{|OA|} (\text{CM}) \\ N &= \frac{|OC|}{|OA|} (\text{MCM}) \end{aligned}$$



Στοιχεία Μηχανών - Διάλεξη 3

28

28

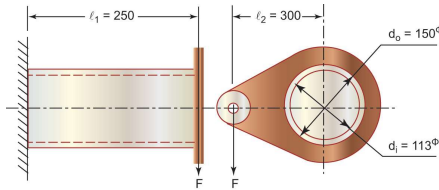
## Άσκηση 5



- Εφαρμογή κριτηρίων Coulomb-Mohr (CM) και Τροποποιημένης Coulomb-Mohr (MCM)
- Σύγκριση διαδικασίας για όλκιμα και ψαθυρά υλικά
- Συντελεστής συγκέντρωσης τάσεων

Ο κύλινδρος του σχήματος είναι πακτωμένος αριστερά και φέρει έκκεντρο φορτίο  $F=10 \text{ kN}$ . Ο συντελεστής συγκέντρωσης τάσεων στη πάκτωση είναι 3.

Βρείτε τον συντελεστή ασφαλείας αν το υλικό του σωλήνα είναι χυτοσίδηρος με  $Sut=172 \text{ MPa}$  και  $Suc=690 \text{ MPa}$  χρησιμοποιώντας την Θεωρία μέγιστης ορθής τάσης, την Coulomb-Mohr και την τροποποιημένη Coulomb-Mohr.



Στοιχεία Μηχανών - Διάλεξη 3

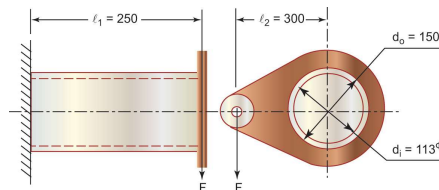
29

29

## Άσκηση 5 (Λύση)



Ποιες είναι οι καταπονήσεις που δέχεται ο σωλήνας?



$$\text{Κάμψη} \quad \sigma_{max} = \frac{Mr}{I} \quad M = Fl_1 \quad \text{Μέγιστη καμπτική ροπή στην πάκτωση}$$

$$r = d_o/2 \quad \text{Το πιο μακρινό σημείο από τον ουδέτερο άξονα}$$

$$I = \frac{\pi}{64} (d_o^4 - d_i^4) \quad \text{Διατομή σωλήνα=δακτύλιος}$$

$$\text{Στρέψη} \quad \tau_{max} = \frac{Tr}{J} \quad T = Fl_2 \quad \text{σταθερή στρεπτική ροπή}$$

$$r = d_o/2 \quad \text{Το πιο μακρινό σημείο από τον ουδέτερο άξονα}$$

$$J = \frac{\pi}{32} (d_o^4 - d_i^4) \quad \text{Διατομή σωλήνα=δακτύλιος} \quad 30$$

30

## Άσκηση 5 (Λύση)



Άρα  $\sigma_{max} = \frac{Mr}{I} = \frac{Fl_1 \frac{d_0}{2}}{\frac{\pi}{64}(d_0^4 - d_0^4)} = \frac{10000 \times 250}{\frac{\pi}{64}(150^4 - 113^4)} = 11.13 \text{ MPa}$

$$\tau_{max} = \frac{Tr}{J} = \frac{Fl_2 \frac{d_0}{2}}{\frac{\pi}{32}(d_0^4 - d_0^4)} = \frac{10000 \times 300}{\frac{\pi}{32}(150^4 - 113^4)} = 6.68 \text{ MPa}$$

Όταν δουλεύουμε σε N και την, οι τάσεις είναι σε MPa

Κύριες τάσεις

$$\sigma_1, \sigma_3 = \frac{\sigma_x + \sigma_y}{2} \pm \sqrt{\left(\frac{\sigma_x - \sigma_y}{2}\right)^2 + \tau_{xy}^2} = \frac{11.13 + 0}{2} \pm \sqrt{\left(\frac{11.13 - 0}{2}\right)^2 + 6.68^2}$$

$$\sigma_1 = 14.26 \text{ MPa} \quad \sigma_3 = -3.13 \text{ MPa}$$

Στοιχεία Μηχανών - Διάλεξη 3

31

31

## Άσκηση 5 (Λύση)



$$\sigma_1 = 14.26 \text{ MPa} \quad \sigma_3 = -3.13 \text{ MPa}$$

Ο συντελεστής συγκέντρωσης τάσεων εκφράζει την απότομη αύξηση των τάσεων σε γεωμετρικές ή άλλες κατασκευαστικές ανομοιομορφίες, συνήθως δίνεται από εμπειρικά δεδομένα.

$$\sigma' = k_t \sigma \quad \tau' = k_t \tau$$

Ουσιαστικά, πολλαπλασιάζουμε τις τάσεις που βρίσκουμε θεωρητικά με τους συντελεστές αυτούς, και χρησιμοποιούμε τις αυξημένες τιμές στον σχεδιασμό.  
Π.χ. εδώ ο συντελεστής συγκέντρωσης δίνεται ίσος με 3 για την πάκτωση. Άρα:

$$\sigma_1 = 3 * 14.26 = 42.78 \text{ MPa} \quad \sigma_3 = -3 * 3.13 = -9.39 \text{ MPa}$$

Στοιχεία Μηχανών - Διάλεξη 3

32

32

## Άσκηση 5 (Λύση)



Εφαρμογή κριτηρίων αστοχίας

$$\sigma_1 = 42.78 \text{ MPa}$$

$$\sigma_3 = -9.39 \text{ MPa}$$

Μέγιστη ορθή τάση:  $\max(\sigma_1, \sigma_3) \leq \frac{S_{ut}}{N} \rightarrow 42.78 = \frac{172}{N} \Rightarrow N_{OT} = 4$

CM:  $\frac{\sigma_1}{S_{ut}} - \frac{\sigma_3}{S_{uc}} \leq \frac{1}{N} \Rightarrow \frac{42.78}{172} - \frac{-9.39}{690} = \frac{1}{N} \rightarrow N_{CM} = 3.81$

MCM:  $\lambda = \frac{S_{uc}}{S_{uc} - S_{ut}} = \frac{690}{690 - 172} = 1.33$

$$\frac{\sigma_1}{S_{ut}} - \frac{\sigma_3}{S_{uc} - S_{ut}} \leq \frac{\lambda}{N} \Rightarrow \frac{42.78}{172} - \frac{-9.39}{690 - 172} = \frac{1.33}{N} \rightarrow N_{MCM} = 4.98$$

Στην MCM πάντα ελέγχω εάν  $N_{OT} < N_{MCM}$ . Τότε,  $N_{MCM} = N_{OT} = 4$

Στοιχεία Μηχανών - Διάλεξη 3

33

33

## Άσκηση 5 (Λύση)

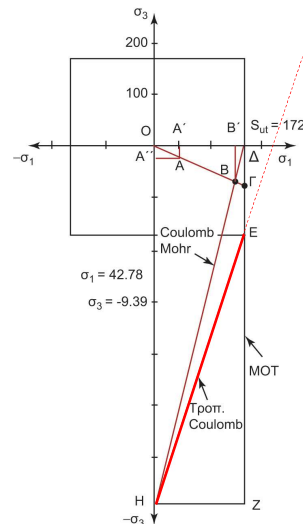


Γιατί κάνουμε αυτόν τον έλεγχο?

Η ανισότητα του MCM ισχύει μόνο μεταξύ των σημείων E και H.

Πρέπει να ελέγχουμε εάν η γραμμή φόρτισης ΟΓ τέμνει πρώτα τη γραμμή ΔE, που ορίζεται από το κριτήριο μέγιστης ορθής τάσης.

Τότε, ο συντελεστής ασφαλείας δίνεται από το κριτήριο μέγιστης ορθής τάσης.



Στοιχεία Μηχανών - Διάλεξη 3

34

34